

## ИСПОЛЬЗОВАНИЕ ЛАЗЕРНОЙ КОНФОКАЛЬНОЙ МИКРОСКОПИИ ДЛЯ ИССЛЕДОВАНИЯ НИЗКОРАЗМЕРНЫХ СТРУКТУР

Ю. С. Ковалев<sup>a</sup>, В. А. Скуратов<sup>a</sup>, С. И. Тютюнников<sup>a</sup>, Г. Буйнаровский<sup>a, б</sup>

<sup>a</sup> Объединенный институт ядерных исследований, Дубна

<sup>б</sup> Институт физики, Университет г. Ополе, Ополе, Польша

Показана применимость метода рамановской сканирующей конфокальной микроскопии для исследований в области физики конденсированных сред.

It is shown that the Raman confocal scanning microscopy can have wide application in condensed matter physics investigations.

PACS: 78.30.-j

### ВВЕДЕНИЕ

В данной работе рассматриваются возможности применения лазерного сканирующего конфокального микроскопа (ЛКСМ) SOLAR ТII в различных областях физики конденсированных сред, биофизических исследованиях, в том числе и для изучения оптических свойств низкоразмерных структур. Приведены схема и основные параметры установки. Представлены первые экспериментальные результаты, полученные методом конфокальной сканирующей микроскопии.

### 1. УСТРОЙСТВО И ПРИНЦИП РАБОТЫ УСТАНОВКИ ЛКСМ SOLAR ТII

На рис. 1 представлена схема установки ЛКСМ SOLAR ТII. Луч света с длиной волны  $\lambda = 441,6$  нм, испускаемый лазером 1 через систему линз 2, задающую форму пучка, попадает на делитель пучка 3, отражается от него на гальванозеркала 4 и попадает в объектив микроскопа 6. Гальванозеркала предназначены для перемещения точки фокусировки пучка в фокальной плоскости объектива 6 при поверхностном сканировании образца. На приборе установлен обзорный и рабочий объективы  $\times 10$  и  $\times 100$  соответственно.

Переизлученный образцом свет собирается тем же объективом микроскопа и, проходя через делитель пучка 3, попадает через нейтральный светофильтр 8 на собирающую линзу 9. Фокус линзы 9 находится на точечном отверстии 10 изменяемого размера. Таким образом, изображение из точки фокуса объектива микроскопа проецируется на отверстие 10, а изображения соседних точек «отсекаются» отверстием, что позволяет достичь большего пространственного разрешения. После этого свет попадает на сменную

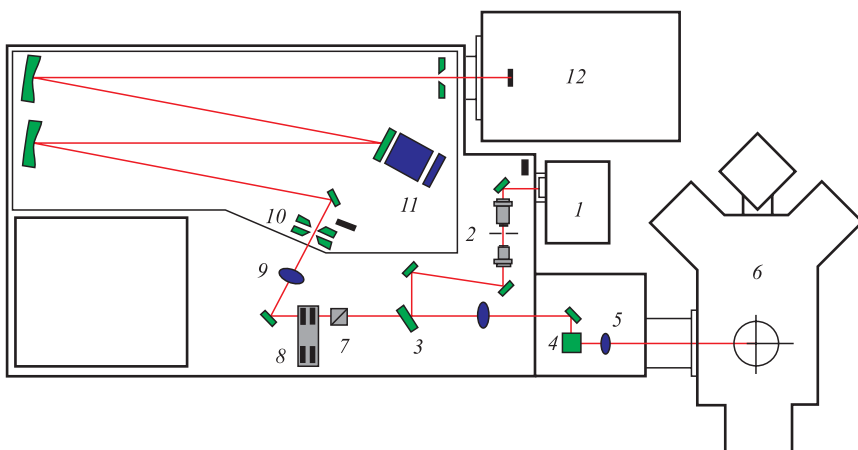


Рис. 1. Схема установки SOLAR TII: 1 — лазер; 2 — система линз; 3 — делитель пучка по длинам волн; 4 — гальванозеркала; 5 — связующая линза; 6 — объектив микроскопа; 7, 8 — светофильтры; 9 — собирающая линза; 10 — точечное отверстие; 11 — монохроматор; 12 — детектор

дифракционную решетку — монохроматор 11 — и далее на детектор 12. В качестве детектора может использоваться фотоэлектронный умножитель либо двухкоординатный полупроводниковый детектор.

Прибор позволяет производить сканирование по объему  $100 \times 100 \times 80$  мкм с разрешением до 250 нм по осям X и Y, до 500 нм по оси Z. Кроме того, возможно провести сканирование интенсивности переизлученного света (люминесценции или рамановского рассеяния) по длинам волн от 445 до 850 нм с разрешением  $\sim 2$  см $^{-1}$ . Размеры точки фокусировки светового пучка  $\sim 800$  нм, что позволяет работать с микроскопическими образцами. В результате можно получить данные о составе и структуре прозрачного образца по его объему за сравнительно короткое время без разрушения образца.

## 2. ДИАГНОСТИКА ПРИМЕСЕЙ В ВОДНЫХ РАСТВОРАХ

В настоящее время актуальными являются методы исследования структуры воды и примесей, а также эффективности различных способов ее фильтрации. Базовый метод, основанный на атомно-эмиссионном анализе примесей, является на настоящий момент одним из самых чувствительных и точных. Однако он требует проведения дополнительных калибровок по примесям и, кроме того, не позволяет обнаружить органические примеси.

Перспективным с точки зрения интерпретации результатов измерения может послужить метод, основанный на возбуждении в воде лазерным спектром вторичного излучения, который состоит из дискретных линий комбинационного рассеяния и флуоресценции органической субстанции, если она присутствует.

На рис. 2 показаны возможности установки ЛКСМ для обнаружения примесей в воде. На спектрах рис. 2, а видно, что пик, характерный для D<sub>2</sub>O, появляется на спектре дистиллированной H<sub>2</sub>O начиная с концентрации D<sub>2</sub>O  $10^4$  ppm, несмотря на то, что прибор

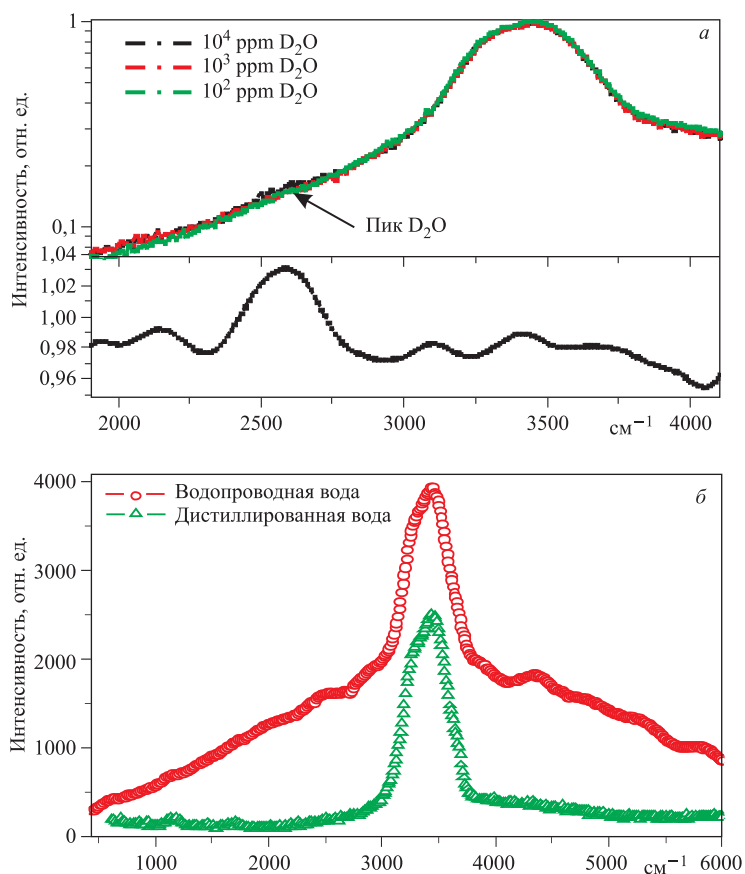


Рис. 2. Спектры переизлученного света с различных образцов воды. а) Денонизированная вода с различным содержанием D<sub>2</sub>O. В нижней части — спектр с содержанием D<sub>2</sub>O 10<sup>4</sup> ppm, нормированный на спектр с 10<sup>2</sup> ppm D<sub>2</sub>O. б) Дистиллированная H<sub>2</sub>O (Δ) и вода из водопровода (○)

изначально не предназначен для тонких спектрометрических измерений. На спектрах рис. 2, б видны значительные отличия спектров дистиллированной и водопроводной воды, что позволяет легко отслеживать наличие примесей.

### 3. ЛКСМ-ИССЛЕДОВАНИЯ БИОЛОГИЧЕСКИХ ОБЪЕКТОВ

Возможности установки для биологических исследований показаны на примере исследования живых клеток Ag11395. Клетки Ag11395 — фибробласты человека, больного синдромом Вернера (преждевременное старение, характеризуется отсутствием одной из геликаз, расплетающих ДНК во время репликации). Окрашены бромистым этидием, 0,7 мкг/мл. Этот краситель нековалентно связывается с ДНК по малой бороздке и может быть отмыт. В несвязанном состоянии практически не люминесцирует.

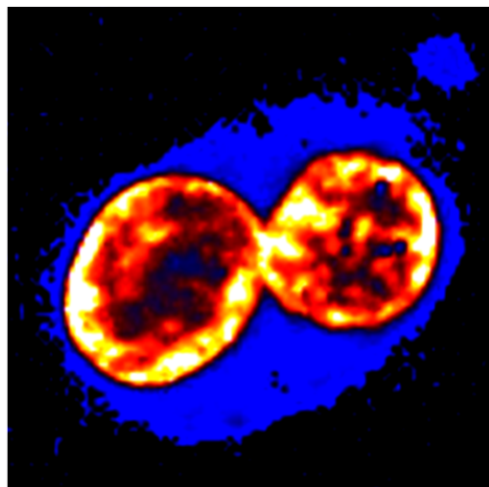


Рис. 3. 10 мкм внутри клетки, подкрашенной EtBr. Размер изображений 30 × 30 мкм, 120 × 120 точек. Время измерения в одной точке — 5 мс. На изображениях с ЛКМ цвет определяется интенсивностью свечения в данной точке

На рис. 3 наблюдается неравномерное окрашивание ядра клетки с тенденцией к усилению яркости окраски по периметру внутренней ядерной оболочки. Также в ядрах присутствуют локальные области с интенсивной флуоресценцией. Подобная неравномерность распределения хромосомальной ДНК в ядре интерфазной клетки может свидетельствовать о начале гибели клеток (в связи с длительной транспортировкой в фосфатно-солевом буфере и перепадом температур).

#### 4. ИССЛЕДОВАНИЯ В ОБЛАСТИ ФИЗИКИ ТВЕРДОГО ТЕЛА

**4.1. Изучение полупроводниковых пленок.** Твердые растворы полупроводников находят широкое техническое применение, так как их параметры — ширина запрещенной зоны, эффективная масса носителей, кристаллическая структура и постоянная решетки — могут быть изменены в широких пределах в зависимости от состава. В то же время такие растворы, как  $\text{CdS}_{1-x}\text{Se}_x$ , зачастую используются как модельные объекты.

В первой из представленных работ исследованы различные техпроцессы получения полупроводниковых пленок. На рис. 4 приведены спектры люминесценции пленок  $\text{CdS}_{1-x}\text{Se}_x$  с различным соотношением S/Se, а на рис. 5 — соответствующие им поверхности пленок, полученные тем же методом. При сканировании на соответствующих люминесцентных длинах волн отчетливо видна разница в структуре получаемой поверхности.

**4.2. Изучение полупроводниковых нанокластеров.** Во второй работе исследовались наноразмерные эффекты в полупроводниках. Объектом исследования являлись наночастицы CdSe размером порядка 100 нм. Наночастицами были допированы пластиковые микросферы, использовавшиеся в качестве оптических усилителей. На рис. 6 показаны спектры люминесценции различных микросфер. Разница в спектрах, по-видимому, объ-

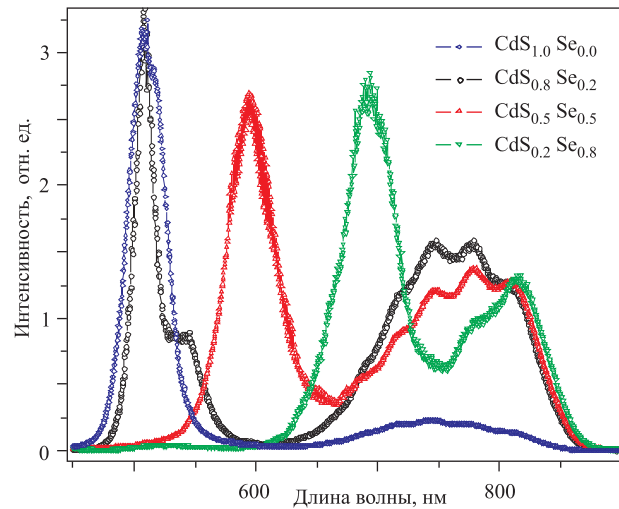


Рис. 4. Спектры люминесценции пленок  $\text{CdS}_{1-x}\text{Se}_x$

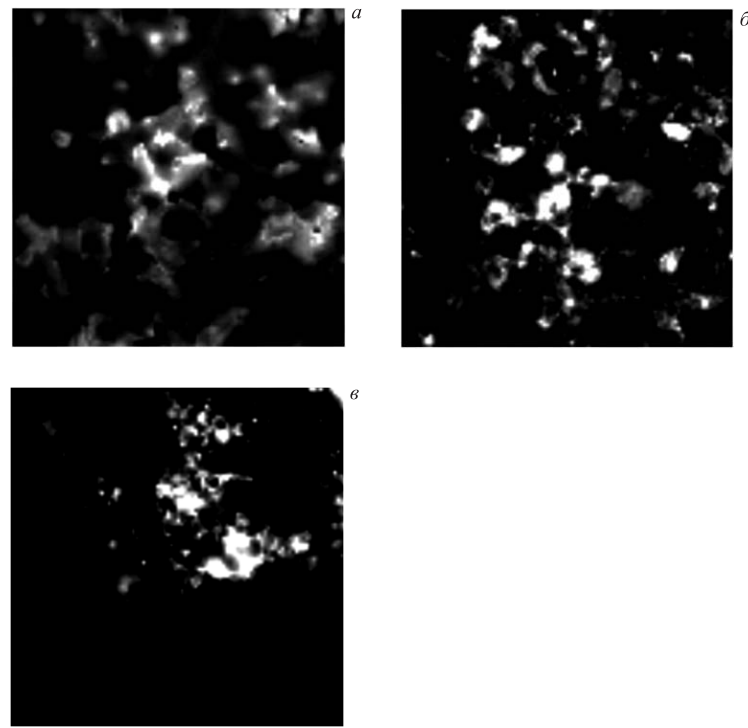


Рис. 5. Изображения поверхности  $\text{CdS}_{1-x}\text{Se}_x$ , полученные на ЛКСМ. Размер изображения  $30 \times 30$  мкм: а)  $\text{CdS}_{0.2}\text{Se}_{0.8}$ ; б)  $\text{CdS}_{0.5}\text{Se}_{0.5}$ ; в)  $\text{CdS}_{0.8}\text{Se}_{0.2}$

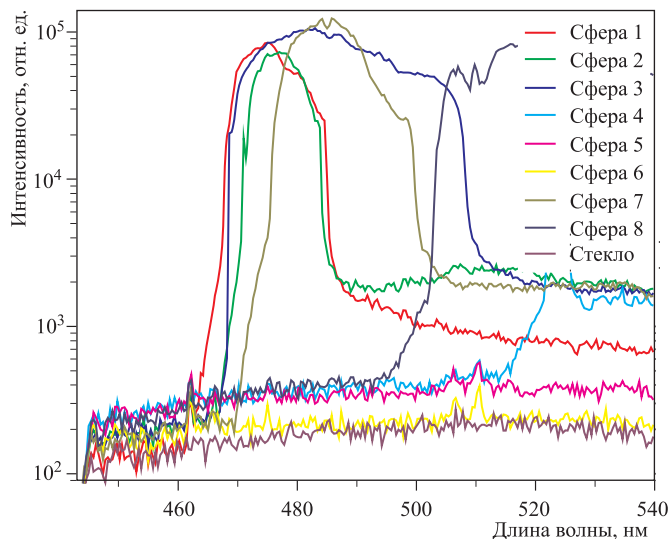


Рис. 6. Спектры люминесценции полимерных микросфер, допированных наночастицами CdSe

ясняется разницей в размерах между наночастицами. Четко связать размеры наночастиц со сдвигом спектра не удалось в связи с полидисперсностью частиц по размерам.

**4.3. Исследование структурных изменений ЦТСЛ 8/65/35 под воздействием электронного пучка.** Прозрачная сегнетокерамика цирконата-титаната свинца, модифицированная лантаном (ЦТСЛ  $x/65/35$ ;  $x$  — содержание лантана в атомарных процентах, 65/35 — отношение цирконий–титан), является одним из интенсивно изучаемых объектов благодаря разнообразному набору оптических, диэлектрических, электрооптических и пьезоэлектрических свойств.

Особый интерес как для прикладных, так и фундаментальных исследований представляют соединения керамики ЦТСЛ с содержанием лантана от 6 до 12 %, которые про-

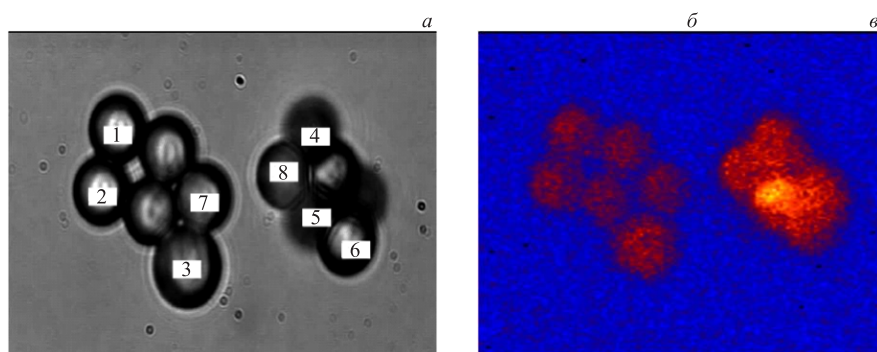


Рис. 7. Изображения микросфер, полученные с помощью оптического микроскопа (а) и с помощью ЛКСМ (б, в) на длине волны 475 нм. На изображениях с ЛКСМ цвет определяется интенсивностью свечения в данной точке

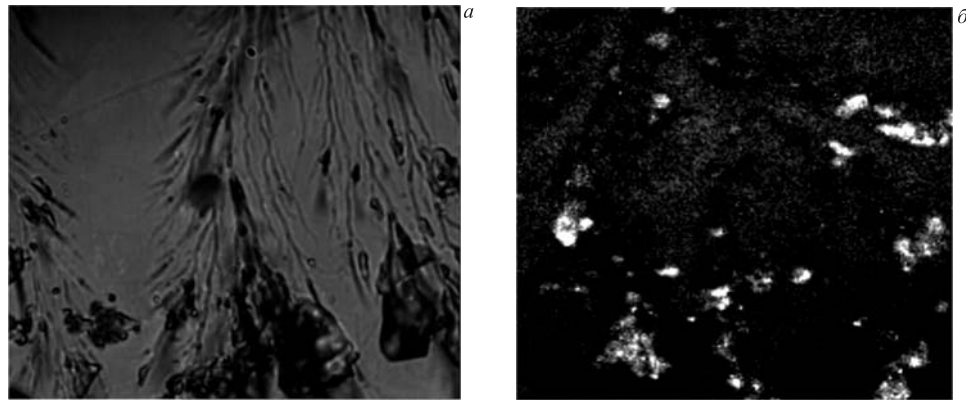


Рис. 8. Изображения поверхности образца ЦТСЛ, облученного импульсным пучком электронов, полученные на оптическом микроскопе (*а*) и с помощью ЛКСМ на длине волны 457,5 нм (*б*). Размер изображения 100 × 100 мкм

являют целый ряд аномальных свойств. Большого внимания заслуживает исследование влияния на фазовые переходы различных внешних воздействий, приводящих к изменению метастабильных состояний. Недавно при облучении сильноточными импульсными пучками электронов и ионов керамики ЦТСЛ обнаружен эффект структурных изменений кристаллической решетки и, как следствие этого, смещение фононных мод, изменение параметров их затухания и сил соответствующих осцилляторов.

На изображении, полученном с оптического микроскопа (рис. 8, *а*), отчетливо видны модифицированные области на поверхности облученного ЦТСЛ. При сканировании ЛКСМ на характерной для ЦТСЛ рамановской длине волны была выявлена структурная неоднородность облученных областей (рис. 8, *б*), которая подтвердилась после снятия

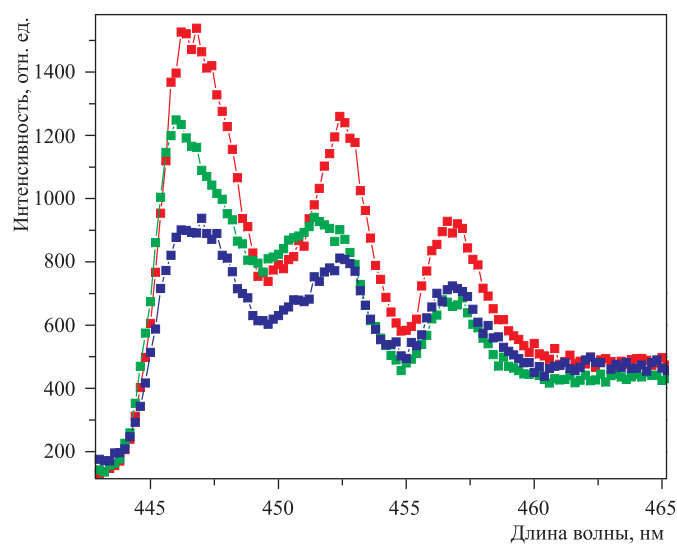


Рис. 9. Рамановские спектры характерных областей образца ЦТСЛ (рис. 8, *б*)

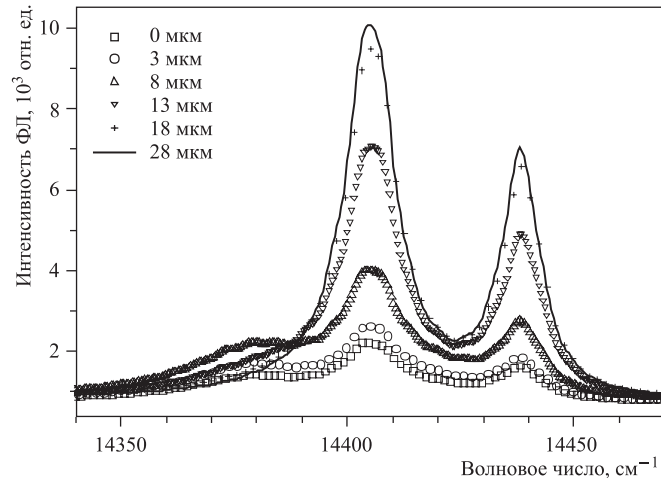


Рис. 10. Спектры  $R$ -линий, измеренные на различной глубине образца  $\text{Al}_2\text{O}_3:\text{Cr}$ , облученного ионами  $\text{Bi}$  (710 МэВ)

рамановских спектров неоднородностей (рис. 9). Пространственный анализ изменений и дополнительные данные, полученные с АСМ, позволили построить физическую модель изучаемого процесса [3, 4].

**4.4. Анализ профилей механических напряжений в облученных материалах.** Воздействие тяжелых заряженных частиц на твердые тела, как правило, сопровождается генерацией в облучаемом слое механических напряжений, которые, в свою очередь, оказывают влияние на процессы дефектообразования. Оценка уровня напряжений и установление взаимосвязи между характером радиационных повреждений и напряжениями очень важны для корректного описания эволюции дефектной структуры в различных экспериментальных условиях. Прежде всего, такие задачи рассматривались для низкоэнергетической ионной имплантации в полупроводниковые материалы. В наименьшей степени эти вопросы изучены для высокоенергетического ( $E > 1$  МэВ/а.е.м.) ионного облучения, возможности которого для решения практических задач становиться быть востребованными только в последнее время. Исследования в этом направлении представляют, в частности, значительный интерес и для прогноза долговременной радиационной стабильности керамических и оксидных материалов, используемых в ядерно-энергетических установках, по отношению к воздействию осколков деления.

Уровень напряжений в ряде диэлектриков может быть определен с помощью метода, основанного на использовании пьезоспектроскопического эффекта, связывающего изменения в оптических спектрах поглощения, люминесценции или рамановского рассеяния с величиной механических напряжений [1, 2]. В частности, для кристаллов  $\text{Al}_2\text{O}_3:\text{Cr}$ , являющихся одними из наиболее распространенных и изученных объектов пьезоспектроскопических исследований, напряжения могут быть определены из спектров люминесценции по сдвигу линий характеристического излучения трехвалентной примеси хрома, так называемых  $R$ -линий, или по сдвигу полосы рамановского рассеяния. Таким образом, регистрация спектров фотостимулированной люминесценции  $R$ -линий по толщине слоя, облученного ионами высоких энергий, предоставляет уникальную возможность для определения профиля механических напряжений. Пример спектров фотolumинесцен-

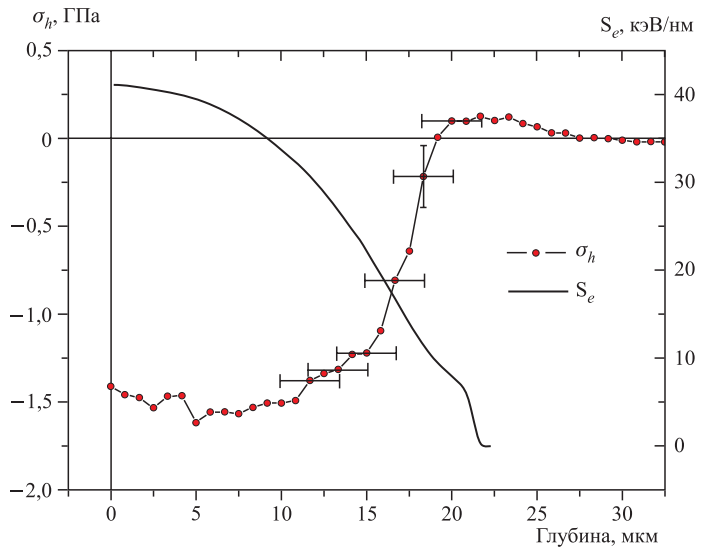


Рис. 11. Профили гидростатических напряжений и удельных ионизационных потерь энергии ионов висмута

ции, измеренных на разной глубине в образцах рубина, облученных ионами висмута с энергией 710 МэВ, приведен на рис. 10. Профили гидростатических механических напряжений для этих образцов вместе с профилем удельных ионизационных потерь энергии представлены на рис. 11.

Как видно из рис. 11, механические напряжения максимальны в области значений энерговыделения 41–20 кэВ/нм, что подтверждает доминирующую роль дефектов, образованных по каналу электронного торможения, в генерации механических напряжений.

### ЗАКЛЮЧЕНИЕ

На примере экспериментальных работ, проведенных на ЛКСМ, показана применимость метода и установки для исследования широкого спектра образцов из области физики конденсированных сред. За сравнительно короткое время измерения возможно получить данные о составе и структуре изучаемого образца по его объему с точностью до 250–500 нм без разрушения образца.

### СПИСОК ЛИТЕРАТУРЫ

1. Каплянский А. А., Пржеувский А. К. // Докл. АН СССР. Физика. 1962. Т. 142, № 2. С. 313.
2. Ma Q., Clarke D. R. // J. Am. Ceram. Soc. 1993. V. 76. P. 1433.
3. Аксенов В. Л. и др. // Part. Nucl., Lett. 2005. V. 2, No. 1(124). P. 96.
4. Efimov V. V. et al. // Phys. Stat. Solidi. 2005. V. 2. P. 449.

Получено 28 декабря 2009 г.